

МОСКОВСКИЙ ГОСУДАРСТВЕННЫЙ УНИВЕРСИТЕТ
имени М.В.Ломоносова
механико-математический факультет

Практикум на ЭВМ
Решение задачи оптимального управления

Отчет
студента 4-го курса 422-ой группы
кафедры теоретической механики и мехатроники
Елфимова Никиты Сергеевича

Преподаватель
ассистент кафедры вычислительной математики
Самохин Александр Сергеевич

1. Постановка задачи

Рассмотрим задачу оптимального управления:

$$\int_0^T (\ddot{x}^2 - \dot{x}^2 - x^2) dt \rightarrow extr, \quad (1.1)$$
$$x(0) = x(T) = 0, \quad \dot{x}(0) = 0, \quad |\ddot{x}| \leq 1, \quad T = \{0.1; 1.0; 10.0; 20.0\},$$

в которой отрезок времени фиксирован и выбирается из конечного множества.

Для данной задачи необходимо:

- формализовать задачу как задачу оптимального управления;
- свести задачу к краевой задаче с помощью принципа максимума Понтрягина;
- численно и аналитически решить полученную краевую задачу и сравнить результаты этих решений;

2. Формализация задачи

Для формализации задачи (1.1) положим $\dot{x} = y, \dot{y} = u$. Тогда

$$\left\{ \begin{array}{l} \dot{x} = y, \\ \dot{y} = u, \\ u \in [-1, 1], \\ x(0) = 0, \\ x(T) = 0, \\ y(0) = 0, \\ T = const \in \{0.1; 1.0; 10.0; 20.0\}, \\ B_0 = \int_0^T (u^2 - y^2 - x^2) dt \rightarrow extr, \end{array} \right. \quad (2.1)$$

3. Принцип максимума

Функции Лагранжа и Понтрягина имеют вид:

$$\begin{aligned}\mathcal{L} &= \int_0^1 L dt + l, \\ L &= \lambda_0(u^2 - y^2 - x^2) + p_x(\dot{x} - y) + p_y(\dot{y} - u), \\ l &= \lambda_1 x(0) + \lambda_2 x(T) + \lambda_3 y(0), \\ H &= p_x y + p_y u - \lambda_0(u^2 - y^2 - x^2).\end{aligned}$$

Применим к задаче (2.1) принцип максимума Понтрягина. Необходимые условия оптимальности:

1. Уравнения Эйлера-Лагранжа:

$$\begin{cases} \dot{p}_x = -\frac{\partial H}{\partial x} = -2\lambda_0 x, \\ \dot{p}_y = -\frac{\partial H}{\partial y} = -p_x - 2\lambda_0 y. \end{cases}$$

2. Условие оптимальности по управлению: так как $\lambda_0 > 0$ (см. ниже), то

$$u = \arg \max_{u \in [-1, 1]} H(u) = \arg \max_{u \in [-1, 1]} (p_y u - \lambda_0(u^2 - y^2 - x^2)) = \begin{cases} \frac{p_y}{2\lambda_0}, & \text{if } \frac{p_y}{2\lambda_0} \in [-1, 1], \\ 1, & \text{if } \frac{p_y}{2\lambda_0} > 1, \\ -1, & \text{if } \frac{p_y}{2\lambda_0} < -1. \end{cases}$$

3. Условие трансверсальности: $p_x(t_k) = (-1)^k \frac{\partial l}{\partial x(t_k)}$, $p_y(t_k) = (-1)^k \frac{\partial l}{\partial y(t_k)}$.

При $k \in \{0, 1\}$, $t_0 = 0$, $t_1 = T$ имеем:

$$p_x(0) = \lambda_1, \quad p_x(1) = \lambda_2, \tag{3.1}$$

$$p_y(0) = \lambda_3, \quad p_y(1) = 0. \tag{3.2}$$

4. Условия стационарности: отсутствуют, так как в задаче (2.1) t_k — известные константы.

5. Условия дополняющей нежесткости: отсутствуют, так как в задаче (2.1) нет условий вида "меньше или равно".

6. **Условие неотрицательности:** $\lambda_0 \geq 0$.
7. **Условие нормировки:** множители Лагранжа могут быть выбраны с точностью до положительного множителя.
8. **НЕРОН:** множители Лагранжа НЕ Равны Одновременно Нулю.

4. Анормальный случай

Докажем, что анормальный случай ($\lambda_0 = 0$) невозможен в предположениях 1-8 предыдущего раздела.

В самом деле, пусть $\lambda_0 = 0$. Тогда согласно условию 2: $u = \arg \max_{u \in [-1,1]} H(u) = \arg \max_{u \in [-1,1]} (p_x u + p_y u) = 1$. Тогда задача примет вид:

$$\left\{ \begin{array}{l} \dot{x} = y, \\ \dot{y} = 1, \\ \dot{p}_x = 0, \\ \dot{p}_y = -p_x - y, \\ x(0) = 0, \\ x(T) = 0, \\ y(0) = 0, \\ p_y(T) = 0. \end{array} \right.$$

Тогда $y(t) = t + A$, $A = const$ и $x(t) = \frac{t^2}{2} + At + B$. Воспользуемся начальными условиями: $y(0) = A = 0$, $x(0) = B = 0$. Тогда $x(t) = \frac{t^2}{2}$, но при $t = T$: $x(T) = \frac{T^2}{2} = 0$. Получили противоречие.

5. Краевая задача

Так как функция Лагранжа является однородной по множителям Лагранжа, то можно выбрать условие нормировки $\lambda_0 = \frac{1}{2}$. Тогда из условия 2 раздела 3 определяется управление:

$$u = p_y = \begin{cases} p_y, & \text{if } p_y \in [-1, 1], \\ 1, & \text{if } p_y > 1, \\ -1, & \text{if } p_y < -1. \end{cases}.$$

Тогда задача оптимального управления (2.1) сводится к краевой задаче

$$\left\{ \begin{array}{l} \dot{x} = y, \\ \dot{y} = \begin{cases} p_y, & \text{if } p_y \in [-1, 1], \\ 1, & \text{if } p_y > 1, \\ -1, & \text{if } p_y < -1, \end{cases} \\ \dot{p}_x = -x, \\ \dot{p}_y = -p_x - y, \\ x(0) = 0, \\ x(T) = 0, \\ y(0) = 0, \\ p_x(0) = \lambda_1, \\ p_x(T) = -\lambda_2, \\ p_y(0) = \lambda_3, \\ p_y(T) = 0, \end{array} \right. \quad t \in [0, T] \quad (5.1)$$

$T = \text{const} \in \{0.1; 1; 10; 20\}$.

6. Выбор вычислительной схемы

Для решения краевой задачи (5.1) используем метод стрельбы.

Пусть $\alpha = (\alpha_1, \alpha_2)$ и $\alpha = \alpha^0$ – заданный вектор.

С помощью метода Рунге-Кутты 8-го порядка, основанном на формулах Дормана-Принса 8(7) DOPRI8, с автоматическим выбором шага (см. раздел 7) найдем решение задачи Коши

$$\left\{ \begin{array}{l} \dot{x} = y, \\ \dot{y} = \begin{cases} p_y, & \text{if } p_y \in [-1, 1], \\ 1, & \text{if } p_y > 1, \\ -1, & \text{if } p_y < -1, \end{cases} \\ \dot{p}_x = -x, \\ \dot{p}_y = -p_x - y, \\ x(0) = 0, \\ y(0) = 0, \\ p_x(0) = \alpha_1, \\ p_y(0) = \alpha_2, \end{array} \right. \quad t \in [0, T]. \quad (6.1)$$

Положим $X = X(\alpha) = \begin{pmatrix} x(T) \\ p_y(T) \end{pmatrix}$ – вектор-функция невязок. Пусть $\varepsilon = 10^{-8}$. Если $\|X(\alpha)\| < \varepsilon$, то решение задачи Коши (6.1) $(x(t), y(t), p_x(t), p_y(t))$ является приближенным решением краевой задачи (5.1). Если же $\|X(\alpha)\| \geq \varepsilon$, то сначала находим α^1 , решая

систему линейных алгебраических уравнений с постоянными коэффициентами:

$$X'(\alpha) \cdot (\alpha^1 - \alpha) = X(\alpha), \quad X'(\alpha) = \left(\frac{\partial X_i}{\partial \alpha_j}(\alpha) \right)_{i,j}, \quad (6.2)$$

затем повторяем процедуру, описанную выше, при $\alpha := \alpha^1$.

Замечание 6.1. *Описанный итерационный процесс называют методом Ньютона[2, стр. 129-133].*

Замечание 6.2. *Для решения системы (6.2) использовался метод Крамера.*

7. Тест решения задачи Коши – гармонический осциллятор

7.1. Метод Рунге-Кутты с автоматическим выбором шага

Рассмотрим задачу Коши

$$\begin{cases} y'(x) = f(x, y) \\ y(x_0) = y_0 \end{cases} \quad x \in [x_0, X]. \quad (7.1)$$

Обозначим через $\tilde{y}(x)$ аналитическое решение данной задачи.

Пусть $s \in \mathbb{N}$ и $a_{21}, a_{31}, a_{32}, \dots, a_{s1}, \dots, a_{s,s-1}, b_1, \dots, b_s, c_2, \dots, c_s$ – вещественные коэффициенты. Для вычисления $y_1 = y(x_1)$ используем методом Рунге-Кутты с автоматическим выбором шага:

$$\begin{aligned} k_1 &= f(x_0, y_0), \\ k_2 &= f(x_0 + c_2 h, y_0 + h a_{21} k_1), \\ &\dots \\ k_s &= f(x_0 + c_s h, y_0 + h(a_{s1} k_1 + \dots + a_{s,s-1} k_{s-1})), \\ y_1 &= y_0 + h(b_1 k_1 + \dots + b_s k_s), \\ \hat{y} &= y_0 + h(\hat{b}_1 k_1 + \dots + \hat{b}_s k_s), \quad err_k = dist(y_k, \hat{y}_k). \end{aligned}$$

В случае $s = 7$ числовые значения коэффициентов $a_{21}, a_{31}, a_{32}, \dots, a_{71}, \dots, a_{76}, b_1, \dots, b_7, c_2, \dots, c_7, \hat{b}_1, \dots, \hat{b}_7$ приведены в [1, Глава II, Таблица 4.6]. Выбираем новую длину шага по формуле

$$h_{new} = h \cdot \min(facmax, \max(facmin, fac \cdot (tol/err_k)^{\frac{1}{6}})),$$

где $facmax = 1.5, facmin = 0.7, fac = 0.9$. Тогда, если $err_k \leq tol$, то шаг считается принятым. Иначе шаг отбрасывается, и вычисления повторяются с новой длиной шага h_{new} .

7.2. Гармонический осциллятор

Рассмотрим задачу Коши

$$\begin{cases} \dot{x} = y \\ \dot{y} = -x \\ x(0) = 0 \\ y(0) = 1 \end{cases} \quad t \in [0, T]. \quad (7.2)$$

Аналитическое решение задачи (7.2) записывается в виде периодических функций

$$\begin{cases} \tilde{x}(t) = \sin(t) \\ \tilde{y}(t) = \cos(t) \end{cases}.$$

Определим числа Рунге

$$R_x = \frac{x_{10^{-8}} - x_{10^{-10}}}{x_{10^{-10}} - x_{10^{-12}}}, \quad R_y = \frac{y_{10^{-8}} - y_{10^{-10}}}{y_{10^{-10}} - y_{10^{-12}}}, \text{ где}$$

$x_{10^{-k}} = x(T)$, $y_{10^{-k}} = y(T)$ при $tol = 10^{-k}$. Определим глобальную погрешность

$$\delta_{k+1} = err_k + \delta_k e^{L_k}, \quad \delta_0 = 0,$$

где $L_k = \int_{t_k}^{t_{k+1}} l(s) ds$ при $l(s)$ – спектральный радиус матрицы $\frac{J + J^T}{2}$, J – матрица

Якоби функции f в момент $t = s$. Для гармонического осциллятора имеем $\frac{J + J^T}{2} = 0$, тогда

$$\delta_{k+1} = err_k + \delta_k.$$

Пусть $\Delta x(\cdot) = \max |x(t_k) - \tilde{x}(t_k)|$ и $\Delta y(\cdot) = \max |y(t_k) - \tilde{y}(t_k)|$, где k – номер принятого шаг.

Далее приводятся результаты вычислений, когда начальная длина шага h равна 10^{-3} .

T	tol	$steps$	$ x(T) - \tilde{x}(T) $	$ y(T) - \tilde{y}(T) $	$\Delta x(\cdot)$	$\Delta y(\cdot)$	$\delta_K(T)$	R_x	R_y
π	10^{-8}	14	$4.1 \cdot 10^{-7}$	$8.7 \cdot 10^{-7}$	$6.4 \cdot 10^{-7}$	$8.7 \cdot 10^{-7}$	$3.6 \cdot 10^{-8}$	197.1	75.7
	10^{-10}	30	$2.1 \cdot 10^{-9}$	$1.1 \cdot 10^{-8}$	$7.2 \cdot 10^{-9}$	$1.1 \cdot 10^{-8}$	$1.1 \cdot 10^{-9}$		
	10^{-12}	74	$8.8 \cdot 10^{-12}$	$1.2 \cdot 10^{-10}$	$7.1 \cdot 10^{-11}$	$1.2 \cdot 10^{-10}$	$2.9 \cdot 10^{-11}$		
10π	10^{-8}	120	$5.2 \cdot 10^{-6}$	$1.0 \cdot 10^{-5}$	$1.1 \cdot 10^{-5}$	$1.0 \cdot 10^{-5}$	$4.5 \cdot 10^{-7}$	241.8	91.3
	10^{-10}	296	$2.1 \cdot 10^{-8}$	$1.1 \cdot 10^{-7}$	$1.1 \cdot 10^{-7}$	$1.1 \cdot 10^{-7}$	$1.1 \cdot 10^{-8}$		
	10^{-12}	742	$8.7 \cdot 10^{-11}$	$1.1 \cdot 10^{-9}$	$1.1 \cdot 10^{-9}$	$1.1 \cdot 10^{-9}$	$2.8 \cdot 10^{-10}$		
$10^2\pi$	10^{-8}	1177	$5.3 \cdot 10^{-5}$	$1.0 \cdot 10^{-4}$	$1.2 \cdot 10^{-4}$	$1.2 \cdot 10^{-4}$	$4.5 \cdot 10^{-6}$	245.9	92.7
	10^{-10}	2953	$2.1 \cdot 10^{-7}$	$1.1 \cdot 10^{-6}$	$1.1 \cdot 10^{-6}$	$1.1 \cdot 10^{-6}$	$1.1 \cdot 10^{-7}$		
	10^{-12}	7417	$8.7 \cdot 10^{-10}$	$1.1 \cdot 10^{-8}$	$1.1 \cdot 10^{-8}$	$1.1 \cdot 10^{-8}$	$2.8 \cdot 10^{-9}$		
$10^3\pi$	10^{-8}	11756	$5.3 \cdot 10^{-4}$	$1.0 \cdot 10^{-3}$	$1.2 \cdot 10^{-3}$	$1.2 \cdot 10^{-3}$	$4.5 \cdot 10^{-5}$	246.2	92.9
	10^{-10}	29526	$2.1 \cdot 10^{-6}$	$1.1 \cdot 10^{-5}$	$1.2 \cdot 10^{-5}$	$1.1 \cdot 10^{-5}$	$1.1 \cdot 10^{-6}$		
	10^{-12}	74172	$8.7 \cdot 10^{-9}$	$1.1 \cdot 10^{-7}$	$1.1 \cdot 10^{-7}$	$1.1 \cdot 10^{-7}$	$2.8 \cdot 10^{-8}$		
$10^4\pi$	10^{-8}	117422	$5.3 \cdot 10^{-3}$	$1.0 \cdot 10^{-2}$	$1.2 \cdot 10^{-2}$	$1.2 \cdot 10^{-2}$	$4.5 \cdot 10^{-4}$	245.2	92.9
	10^{-10}	295247	$2.1 \cdot 10^{-5}$	$1.1 \cdot 10^{-4}$	$1.2 \cdot 10^{-4}$	$1.2 \cdot 10^{-4}$	$1.1 \cdot 10^{-5}$		
	10^{-12}	741717	$8.7 \cdot 10^{-8}$	$1.1 \cdot 10^{-6}$	$1.1 \cdot 10^{-6}$	$1.1 \cdot 10^{-6}$	$2.8 \cdot 10^{-7}$		
$10^5\pi$	10^{-8}	1162213	$5.1 \cdot 10^{-2}$	$1.1 \cdot 10^{-1}$	$1.2 \cdot 10^{-1}$	$1.2 \cdot 10^{-1}$	$4.5 \cdot 10^{-3}$	234.8	93.9
	10^{-10}	2952151	$2.1 \cdot 10^{-4}$	$1.1 \cdot 10^{-3}$	$1.2 \cdot 10^{-3}$	$1.2 \cdot 10^{-3}$	$1.1 \cdot 10^{-4}$		
	10^{-12}	7417157	$8.3 \cdot 10^{-7}$	$1.1 \cdot 10^{-5}$	$1.1 \cdot 10^{-5}$	$1.1 \cdot 10^{-5}$	$2.8 \cdot 10^{-6}$		
$10^6\pi$	10^{-8}	9464585	$1.8 \cdot 10^{-4}$	$9.9 \cdot 10^{-1}$	$1.0 \cdot 10^0$	$1.0 \cdot 10^0$	$3.6 \cdot 10^{-2}$	1.1	84.4
	10^{-10}	29490014	$2.1 \cdot 10^{-3}$	$1.1 \cdot 10^{-2}$	$1.2 \cdot 10^{-2}$	$1.2 \cdot 10^{-2}$	$1.1 \cdot 10^{-3}$		
	10^{-12}	74170768	$6.1 \cdot 10^{-6}$	$1.1 \cdot 10^{-4}$	$1.1 \cdot 10^{-4}$	$1.1 \cdot 10^{-4}$	$2.8 \cdot 10^{-5}$		

8. Численное решение

Для вычисления интеграла B_0 рассмотрим функцию

$$S(t) = \int_0^t (u^2 - y^2 - x^2) ds = \int_0^t (p_y(s)^2 - y(s)^2 - x(s)^2) ds.$$

Тогда, решая краевую задачу

$$\begin{cases} \dot{x} = y, \\ \dot{y} = \begin{cases} p_y, & \text{if } p_y \in [-1, 1], \\ 1, & \text{if } p_y > 1, \\ -1, & \text{if } p_y < -1, \end{cases} \\ \dot{p}_x = -x, \\ \dot{p}_y = -p_x - y, \\ \dot{S} = \dot{y}^2 - y^2 - x^2, \\ x(T) = 0, \\ y(0) = 0, \\ p_x(0) = \lambda_1, \\ p_x(T) = -\lambda_2, \\ p_y(0) = \lambda_3, \\ p_y(T) = 0, \end{cases} \quad x(0) = 0, \quad t \in [0, T] \quad (8.1)$$

найдем $S(T) = B_0$.

Ниже изображена таблица с параметрами пристрелки и соответствующими значениями функционала.

T	$p_x(0)$	$p_y(0)$	B_0
0.1	$-2.181405 \cdot 10^{-21}$	$-1.056303 \cdot 10^{-22}$	$3.981775 \cdot 10^{-46}$
1	$1.778736 \cdot 10^{-21}$	$1.480440 \cdot 10^{-21}$	$3.607620 \cdot 10^{-43}$
10	-29.63427	-88.01882	-358.3097
20	-233.4462	-1335.591	-10794.13

Изобразжу графики компонентов векторных полей от времени:

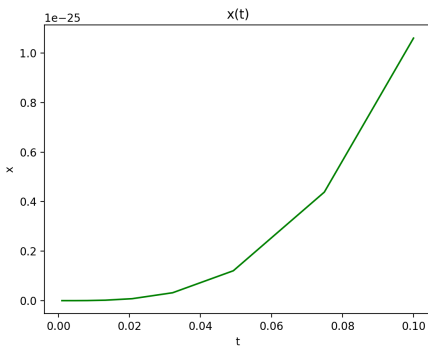


Рис. 1: $T = 0.1$, $x(t)$

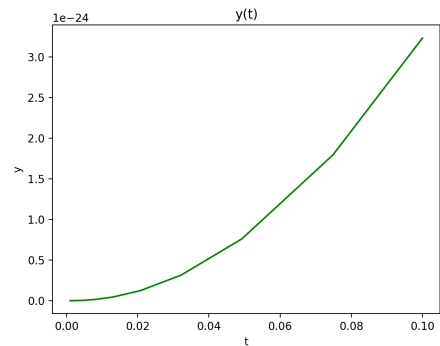


Рис. 2: $T = 0.1$, $y(t)$

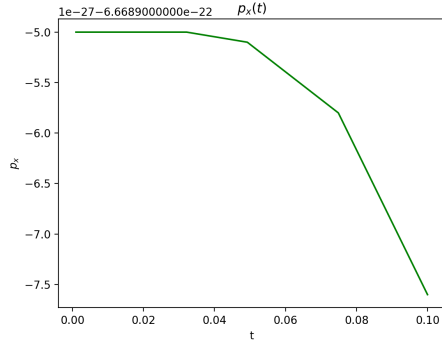


Рис. 3: $T = 0.1$, $p_x(t)$

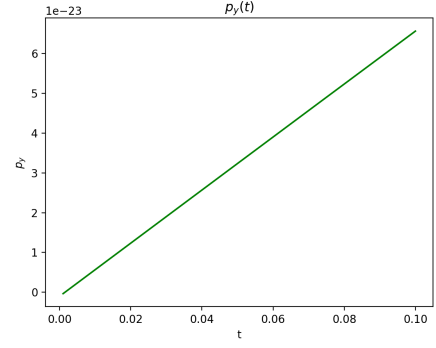


Рис. 4: $T = 0.1$, $p_y(t)$

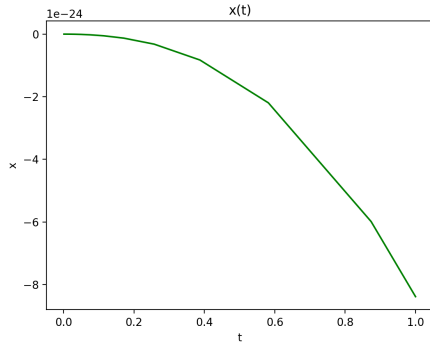


Рис. 5: $T = 1$, $x(t)$

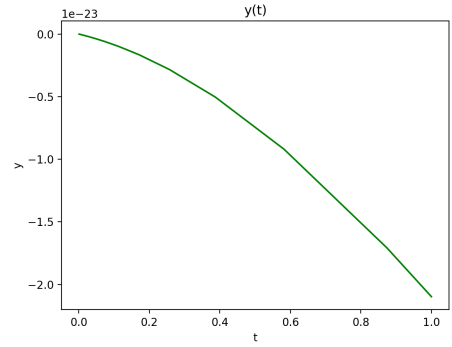


Рис. 6: $T = 1$, $y(t)$

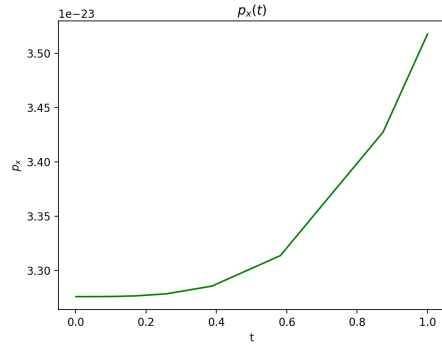


Рис. 7: $T = 1$, $p_x(t)$

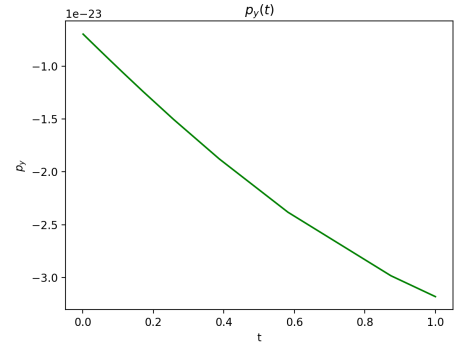


Рис. 8: $T = 1$, $p_y(t)$

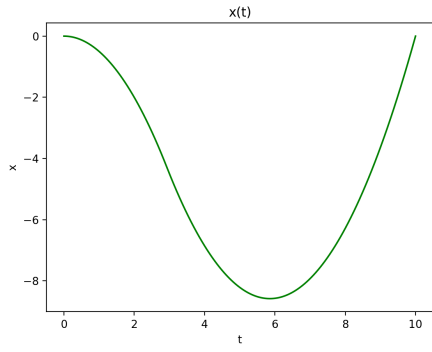


Рис. 9: $T = 10$, $x(t)$

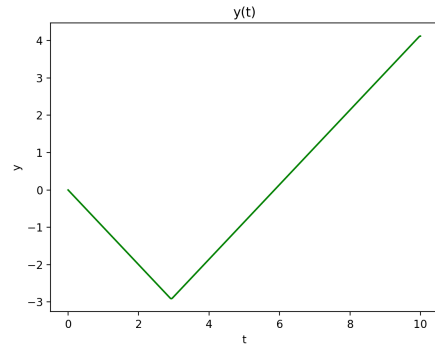


Рис. 10: $T = 10$, $y(t)$

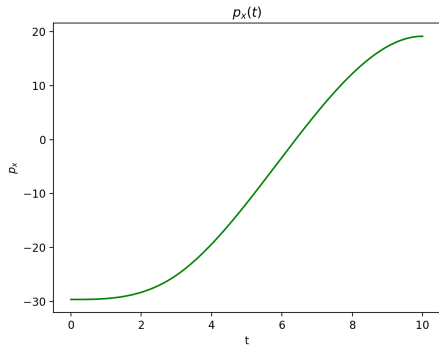


Рис. 11: $T = 10$, $p_x(t)$

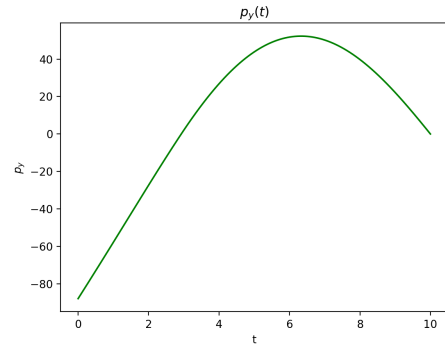


Рис. 12: $T = 10$, $p_y(t)$

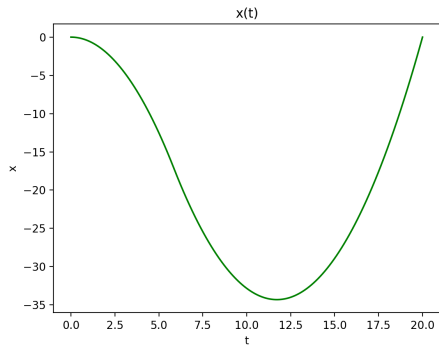


Рис. 13: $T = 20$, $x(t)$

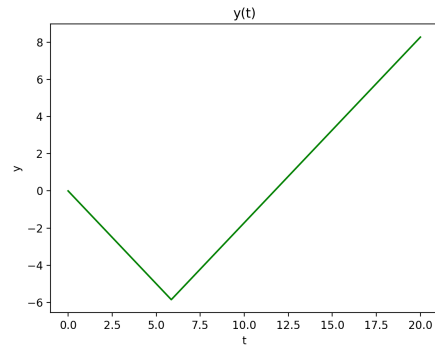


Рис. 14: $T = 20$, $y(t)$

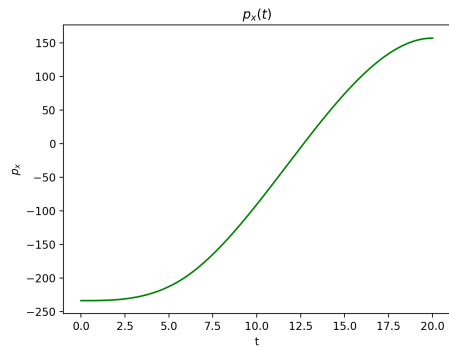


Рис. 15: $T = 20$, $p_x(t)$

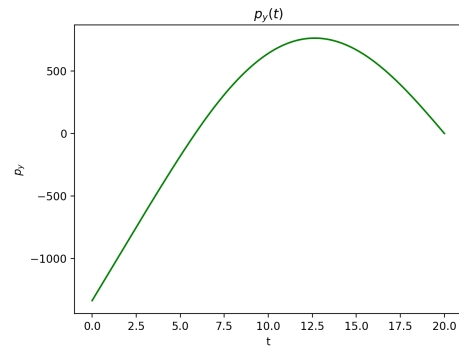


Рис. 16: $T = 20$, $p_y(t)$

9. Аналитическое решение

Рассмотрим два случая, когда $|p_y| \leq 1$ и $|p_y| > 1$.

Пусть $|p_y| \leq 1$. Система примет вид:

$$\begin{cases} \dot{x} = y, \\ \dot{y} = \pm 1, \\ \dot{p}_x = -x, \\ \dot{p}_y = -p_x - y. \end{cases} \quad (9.1)$$

Решая данную систему дифференциальных уравнений, получим:

$$\begin{cases} x(t) = \pm \frac{t^2}{2} + At + B, \\ y(t) = \pm t + A, \\ p_x(t) = -\mp \frac{t^3}{6} - \frac{A}{2}t^2 - Bt - C, \\ p_y(t) = \pm \frac{t^4}{24} + \frac{A}{6}t^3 + (B \mp 1)\frac{t^2}{2} + (C - A)t + D, \end{cases} \quad (9.2)$$

где A, B, C, D - константы, определяемые начальными условиями.

Пусть теперь $|p_y| \leq 1$. Тогда система примет вид:

$$\begin{cases} \dot{x} = y, \\ \dot{y} = p_y, \\ \dot{p}_x = -x, \\ \dot{p}_y = -p_x - y. \end{cases} \quad (9.3)$$

Соответственно ее решение будет иметь вид:

$$\begin{cases} x(t) = Ae^{at} + Be^{-at} + C \cos bt + D \sin bt, \\ y(t) = Aae^{at} - Bae^{-at} - Cb \sin bt + Db \cos bt, \\ p_x(t) = -Aa(a^2 + 1)e^{at} + Ba(a^2 + 1)e^{-at} + Cb(1 - b^2) \sin bt + Db(b^2 - 1) \cos bt, \\ p_y(t) = Aa^2e^{at} + Ba^2e^{-at} - Cb^2 \cos bt - Db^2 \sin bt, \end{cases} \quad (9.4)$$

где $a = \sqrt{\frac{\sqrt{5}-1}{2}}, b = \sqrt{\frac{\sqrt{5}+1}{2}}$ - корни характеристического уравнения линейной системы, A, B, C, D - константы, определяемые начальными условиями.

10. Сравнение аналитического и численного решений

Пользуясь найденным вектором пристрелки, графически изобразим численное и аналитическое решение:

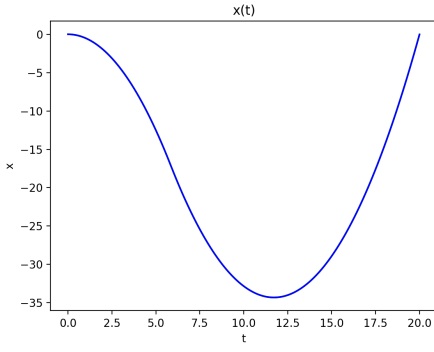


Рис. 17: $T = 0.1$, $x(t)$

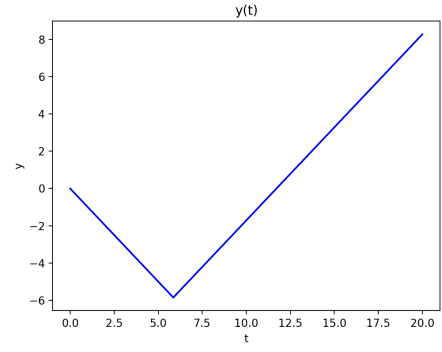


Рис. 18: $T = 0.1$, $y(t)$

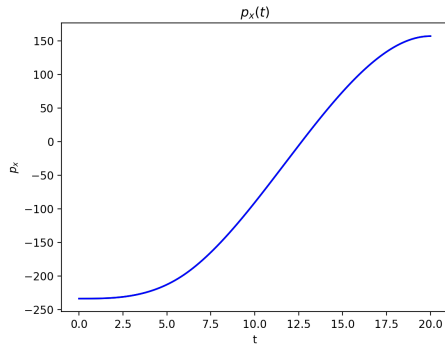


Рис. 19: $T = 0.1$, $p_x(t)$

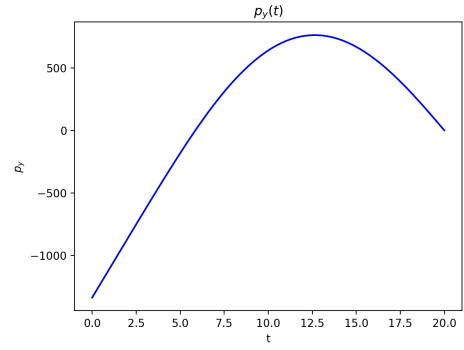


Рис. 20: $T = 0.1$, $p_y(t)$

Из рисунков следует, что найденное решение верное.

Список литературы

1. Хайрер Э., Нёрсетт С., Ваннер Г. Решение обыкновенных дифференциальных уравнений. Нежесткие задачи: Пер. с англ. – М.: Мир, 1990.
2. К. Г. Григорьев., И. С. Григорьев., М. П. Заплетин. Практикум по численным методам в задачах оптимального управления. Дополнение I. М., Издательство ЦПИ при механико-математическом факультете МГУ, 2007.
3. И. С. Григорьев. Методическое пособие по численным методам решения краевых задач принципа максимума в задачах оптимального управления. – М.: Издательство ЦПИ при механико-математическом факультете МГУ, 2005.
4. Александров В. В., Бахвалов Н. С., Григорьев К. Г. и др. Практикум по численным методам в задачах оптимального управления. М.: Изд-во Московского гос. ун-та, 1988.